

## **Raport stiintific**

*privind implementarea proiectului in perioada ianuarie – decembrie 2015*

**Titlul proiectului: "Cercetari avansate privitoare la comportarea sistemelor polimerice multicomponente sub actiunea controlata a factorilor de mediu"**

### **Activitatile prevazute in cadrul obiectivelor propuse au fost realizate si sunt prezentate succint in acest raport.**

Este cunoscut faptul ca desi materialele polimere au aplicabilitate practica diversa ce acopera aproape toate domeniile activitatii umane, totusi acestea prezinta uneori mari probleme de durabilitate, mai ales cand sunt vizate aplicatiile ce necesita durete mari de exploatare. Astfel, prin expunerea materialelor ce au in componenta polimeri la factori agresivi din mediul inconjurator, intre care cei mai importanti sunt lumina solara (in special fractiunea UV din spectrul luminii solare) si temperatura, se produc modificari structurale importante ce conduc la pierderi de proprietati (optice, mecanice, dielectrice) ce au ca rezultat scoaterea prematura din uz a produselor. De aceea predictia „*duratei de viata*” a materialelor ce contin polimeri organici in conditii specifice de utilizare reprezinta inca o problema stiintifica complexa si dificil de rezolvat.

#### **Obiectivul 1. Stabilizarea fotochimica a sistemelor polimerice multicomponente**

Metodele de fotostabilizare a materialelor polimere sunt legate in special de mecanismele de foto-degradare. Tinand cont de mecanismele implicate in reactiile de degradare a materialelor polimere, foto-stabilizarea se poate realiza prin:

1. *Ecranarea suprafetelor supuse actiunii radiatiilor ultraviolete.* Protectia se realizeaza prin depunerea pe suprafetele ce urmeaza a fi protejate a unor pelicule cu rolul de a impiedica patrunderea radiatiei in masa polimerului prin urmatoarele mecanisme:

- *absorbția de energie luminoasă* cu formarea de specii activate cu modificarea multiplicitatii de spin, care isi pierd caracterul activ prin transpozitii foto-chimice sau formarea de specii inerte;
- *transformarea luminii absorbite* in energie vibrationala, fara modificarea multiplicitatii spinului, dezactivarea starilor excitate fiind insotita de efecte termice;

2. *Folosirea stingatorilor energetici de stari excitate.* Stingatorii de stari excitate sunt substante capabile sa accepte energia de la moleculele de polimer activate fotochimic inaintea inceperii degradarii foto-chimice. Stabilizarea eficienta se realizeaza atunci cand continutul energetic al starii excitate ce corespunde stingatorului este mai mic decat cel al polimerului activat fotochimic. O data ce starea excitata este transferata de la polimerul activat fotochimic catre molecule de foto-stabilizator aceasta din urma revine la starea fundamentala prin fluorescenta, fosorescenta sau emisie de caldura.

3. *Descompunerea hidroperoxizilor.* In timpul degradarii foto-chimice a polimerilor au loc procese foto-oxidative ce au ca rezultat formarea de structuri hidroperoxidice. Acumularea hidroperoxizilor in masa materialelor ce contin polimeri organici este nedorita deoarece aceste structuri sunt foarte nestabile si se descompun usor prin activare termica sau foto-chimica conducand la formarea de radicali liberi si implicit la procese de depolimerizare prin mecanism inlantuit. Deoarece exista certitudinea proportionalitatii intre viteza de foto-degradare a materialelor expuse si concentratia radicalilor liberi acumulati in masa se apreciaza ca descompunerea structurilor hidroperoxidice imediat dupa formare prin adaugarea de compusi ce contin sulf sau nichel poate preveni acumularea radicalilor liberi in concentratii critice.

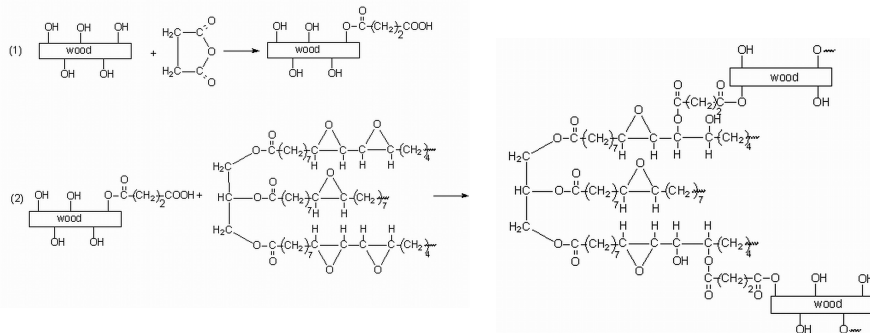
4. *Captarea radicalilor formati in timpul expunerii si transformarea lor in specii chimice cu reactivitate redusa* reprezinta o metoda eficienta de foto-stabilizare. Mecanismul de actiune presupune introducerea in masa polimerului a unor substante sensibile la lumina, cum sunt aminele cu impiedicare sterica (HALS), ce actioneaza prin reactii cu specii radicalice active cum sunt radicalii peroxi.

#### **1.1. Alegerea tipului de fotostabilizator in functie de mecanismul de degradare fotochimica**

##### **1.1.1. Fotostabilizarea lemnului impotriva actiunii radiatiilor UV prin ecranarea suprafetei cu acoperiri pe baza de anhidrida succinica si ulei de soia epoxidat**

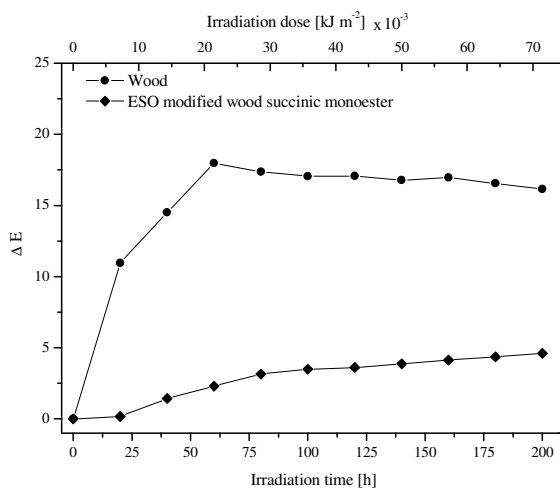
Lemnul, ca material compozit natural constituit din celuloza, lignina si hemiceluloze, este un produs sensibil la lumina din cauza prezentei substanelor cu proprietati cromofore in compozitia sa, substante capabile sa absoarba lumina din spectrul vizibil inducand procese foto-oxidative ce au ca rezultat modificari structurale ireversibile. Acestea sunt insotite de schimbarea proprietatilor optice intr-o prima etapa iar in final de pierderi semnificative ale proprietatilor fizico- mecanice si modificari de forma. O metoda eficienta de preventie a foto-degradarii lemnului implica ecranarea suprafetelor fie prin depuneri de straturi

protectoare, fie prin modificare chimica. Studiul prezentat in acest raport este axat pe evaluarea foto-stabilizarii lemnului de rasinoase modificat chimic prin aplicarea in etape succesive de tratament la suprafata cu anhidrida succinica (SA) si ulei de soia epoxidat (ESO) (**Schema 1**) (Epoxy and succinic anhydride functionalized soybean oil for wood protection against UV light action D.Rosu, R.Bodirlau, C.-A.Teaca, L.Rosu, C.-D.Varganici; *J. Clean. Prod.*, (2015); [doi.org/10.1016/j.jclepro.2015.07.092](https://doi.org/10.1016/j.jclepro.2015.07.092)).



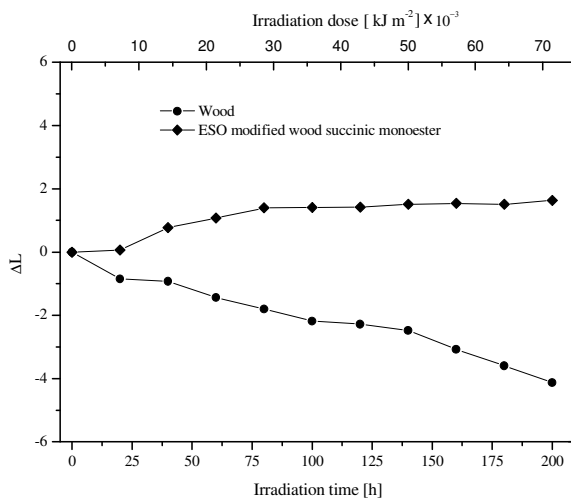
**Schema 1.** Tratamentul succesiv al lemnului cu SA(1) si ESO(2)

Procesul de foto-oxidare a lemnului a fost investigat prin monitorizarea modificarilor structurale si a proprietatilor de suprafata (culoare). Valorile coordonatelor cromatice (specifice inrosirii si ingalbenirii) au crescut cu durata si doza de iradiere. Lignina prezinta o puternica tendinta de foto-degradare, determinand o inrosire accentuata a suprafetei lemnului. S-a constatat ca stratul de acoperire constituit de uleiul de soia epoxidat protejeaza suprafata lemnului fata de reacțiile de foto-oxidare printr-un efect de ecranare. **Fig. 1** prezinta spre exemplificare variația diferențelor de culoare ca rezultat al expunerii la UV ale probei de lemn neprotejat și respectiv a lemnului protejat prin acoperire cu anhidrida succinica și ulei de soia epoxidat în funcție de timpul și doza de iradiere (Epoxy and succinic anhydride functionalized soybean oil for wood protection against UV light action D.Rosu, R.Bodirlau, C.-A.Teaca, L.Rosu, C.-D.Varganici; *J. Clean. Prod.*, (2015); [doi.org/10.1016/j.jclepro.2015.07.092](https://doi.org/10.1016/j.jclepro.2015.07.092)).



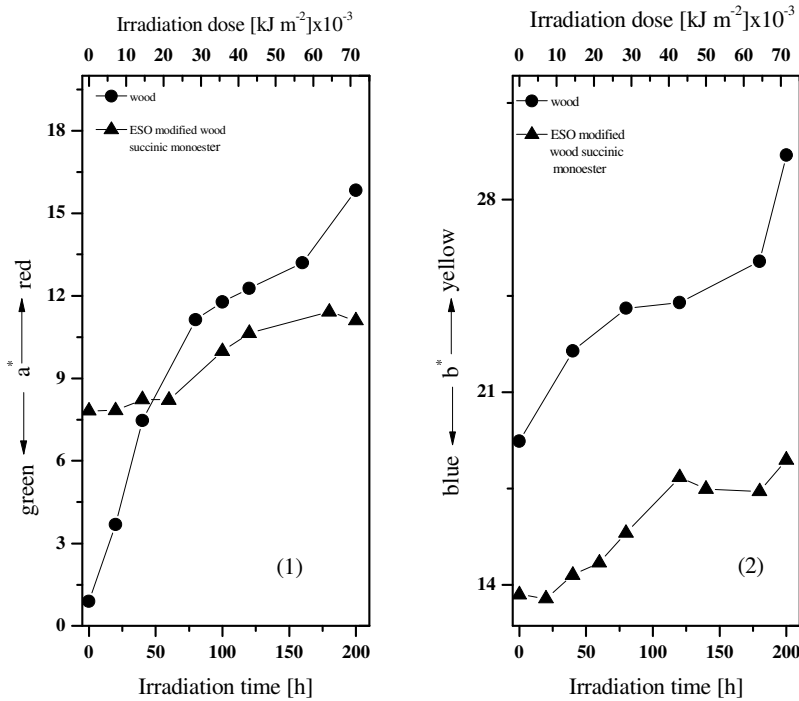
**Fig. 1** Variatia diferenței de culoare in functie de timpul si doza de iradiere

Se poate constata ca variațiile de culoare măsurate la suprafata lemnului protejat sunt mult diminuate comparativ cu cele ce caracterizează suprafata lemnului neprotejat. Studiile privitoare la modificările de culoare au evidențiat faptul că în cazul lemnului neprotejat există o dependență aproape liniară între tendința de închidere la culoare a lemnului neprotejat în timp ce suprafata lemnului protejat prin acoperire cu anhidrida succinica și ulei de soia epoxidat are doar o usoară tendință de decolorare. **Fig. 2** prezintă variația factorului de stralucire ( $\Delta L$ ) cu timpul și respectiv cu doza de iradiere măsurată la suprafata probei de lemn înainte și după protejare.



**Fig. 2** Variatia factorului de stralucire cu timpul si doza de iradiere

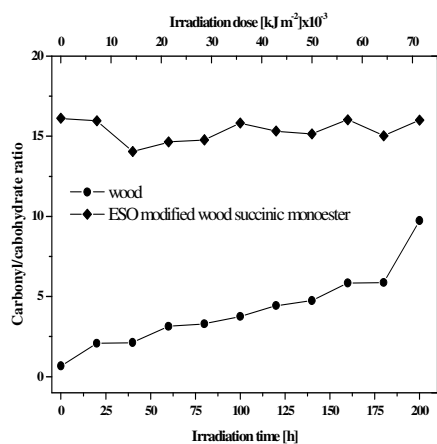
Acumularea cromoforilor la suprafata probelor iradiate este indicata prin variatia parametrilor cromatici a\* si b\* (**Fig. 3**) (Epoxy and succinic anhydride functionalized soybean oil for wood protection against UV light action D.Rosu, R.Bodirlau, C.-A.Teaca, L.Rosu, C.-D.Varganici; J. Clean. Prod., (2015); doi.org/10.1016/j.jclepro.2015.07.092).



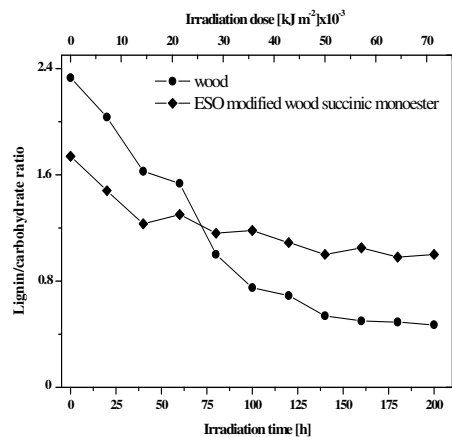
**Fig. 3** Modificarea valorii coeficientilor cromatici cu timpul si doza de iradiere

Datele prezentate in **Fig. 3** reflecta tendinta de acumulare a cromoforilor rosii si galbeni la suprafata probelor de lemn neprotejat. Efectul protector al acoperirii suprafetei lemnului cu anhidrida succinica si ulei de soia epoxidat este sustinut prin variatia acumularii unei cantitati mai mici de cromofori in timpul iradierii. Variatia parametrilor cromatici ce caracterizeaza probele de lemn protejate este mult diminuata comparativ cu probele neprotejate. Modificarile structurale generate de iradiere atat in cazul lemnului neprotejat cat si a lemnului fotostabilizat au fost urmarite prin spectroscopie FTIR (Epoxy and succinic anhydride functionalized soybean oil for wood protection against UV light action D.Rosu, R.Bodirlau,

C.-A.Teaca, L.Rosu, C.-D.Varganici; *J. Clean. Prod.*, (2015); [doi.org/10.1016/j.jclepro.2015.07.092](https://doi.org/10.1016/j.jclepro.2015.07.092)). S-a urmarit pe aceasta cale evolutia comparativa a structurilor carbonilice si fenolice in timpul de iradierii, asa cum este redata in **Fig. 4 si 5**.



**Fig 4.** Modificarea continutului de grupe carbonil în timpul iradierii probelor de lemn protejate și neprotejate

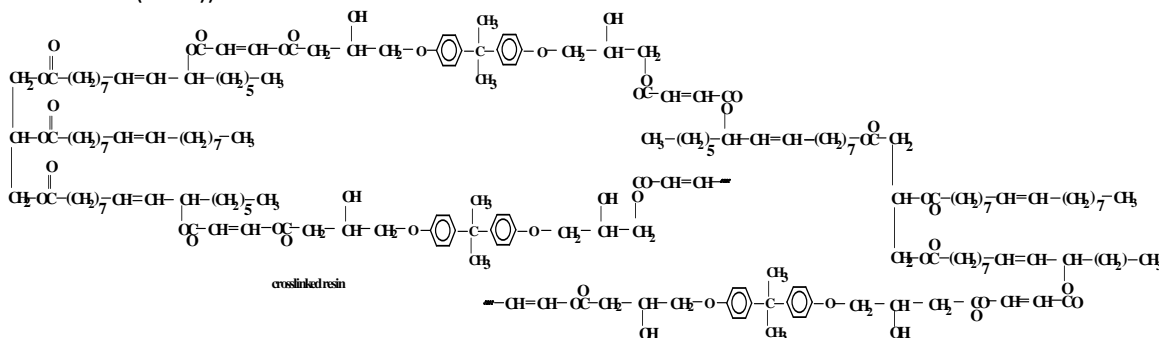


**Fig.5.** Modificarea continutului de lignina in timpul iradierii probelor de lemn protejate si neprotejate

Cercetarile au demonstrat ca in cazul lemnului neprotejat concentratia grupelor carbonil creste proportional cu timpul de iradiere ceea ce sustine ideea degradarii lemnului prin procese foto-oxidative. Aceste procese au loc pe intreaga perioada a expunerii probelor la radiatii UV. S-a constatat totodata ca spre deosebire de lemnul neprotejat, lemnul tratat la suprafata cu anhidrida succinica si ulei de soia epoxidat manifesta inertie chimica la foto-oxidare (**Fig. 4**). Raportul intre suprafata semnalelor din intervalul  $1698\text{-}1774\text{ cm}^{-1}$  corespunzatoare grupelor carbonil si din regiunea  $1343\text{-}1396\text{ cm}^{-1}$  ce caracterizeaza unitatile structurale carbohidrat din celuloza ramane aproape constant. **Fig. 5** demonstreaza ca viteza de foto-degradare a ligninei (componenta lemnului cea mai sensibila la lumina prin a carei degradare se formeaza structuri cromofore) se reduce semnificativ prin protejare cu anhidrida succinica si ulei de soia epoxidat. Se poate observa ca scaderea raportului dintre suprafata semnalelor ce corespunde structurii aromatice a ligninei ( $1452\text{-}1535\text{ cm}^{-1}$ ) si cel de la  $1343\text{-}1396\text{ cm}^{-1}$  specific unitatilor carbohidrat se reduce mai lent in cazul lemnului protejat.

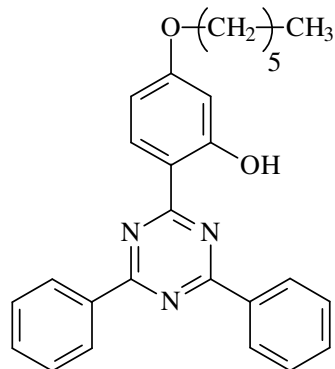
### **1.1.2. Fotostabilizarea rasinilor epoxi reticulate cu uleiuri vegetale modificate**

Au fost efectuate studii referitoare la stabilitatea fotochimica a unor retele epoxidice pe baza de bisfenol A reticulate cu uleiuri vegetale modificate. Agentul de reticulare a fost obtinut prin reactia uleiului de ricin epoxidat cu anhidrida maleica. Structura retelei supuse studiilor de foto-stabilizare este prezentata in **Schema 2** (Novel bio-based flexible epoxy resin from diglycidyl ether of bisphenol A cured with castor oil maleate; D.Rosu, F.Mustata, N.Tudorachi, V.E. Musteata, L.Rosu, C.-D.Varganici; *RSC Advances*, 5(57), 45679-45687 (2015)).



**Schema 2.** Structura rasinilor epoxi reticulate cu uleiuri vegetale modificate

Studiile preliminare au evidențiat obținerea unor rezultate bune în ceea ce privește foto-stabilizarea acestui material prin folosirea 2-[2,6-difenil-1,3,5-triazin-2-yl]-5-[hexyl]oxy]-phenol cunoscut sub denumirea comercială „Tinuvin 1577 FF”. Fotostabilizatorul se prezintă sub formă unei pulberi solide (masa moleculară 425,53), este foarte eficient în stabilizarea materialelor polimere la acțiunea luminii și are toxicitate redusă.



**Tinuvin 1577 FF**

Foto-stabilitatea retelei epoxidice reticulate și stabilizate s-a urmat prin expunerea la radiatii UV filtrate, emise de lampi cu vaporii de mercur avand maxime ale lungimilor de unda localizate la 254 și 365 nm. Iradierile s-au facut în aer, pe probe sub formă de filme rectangulare cu grosimi de 250  $\mu\text{m}$ . Valoarea medie a iradiantei măsurată la suprafața probelor a fost de  $95 \text{ W m}^{-2}$ , iar doza medie de expunere a fost de  $350 \text{ kJ m}^{-2}\text{h}^{-1}$ . Concentratia foto-stabilizatorului în masa polimerului a fost 1%. Influenta produsului Tinuvin 1577 FF asupra stabilitatii fotochimice a retelei epoxidice reticulate cu ulei vegetal modificat chimic a fost urmarita prin analize termice (TG, DSC), variatii de culoare la nivelul suprafetelor, măsuratori de luciu, analize spectrale (UV-Vis, FTIR), micrografii SEM. Variatia indicelui de carbonil cu timpul de iradie în cazul probelor studiate este redată în **Tabelul 1**.

**Tabelul 1.** Variatia indicelui de carbonil cu timpul de iradie (*date nepublicate*)

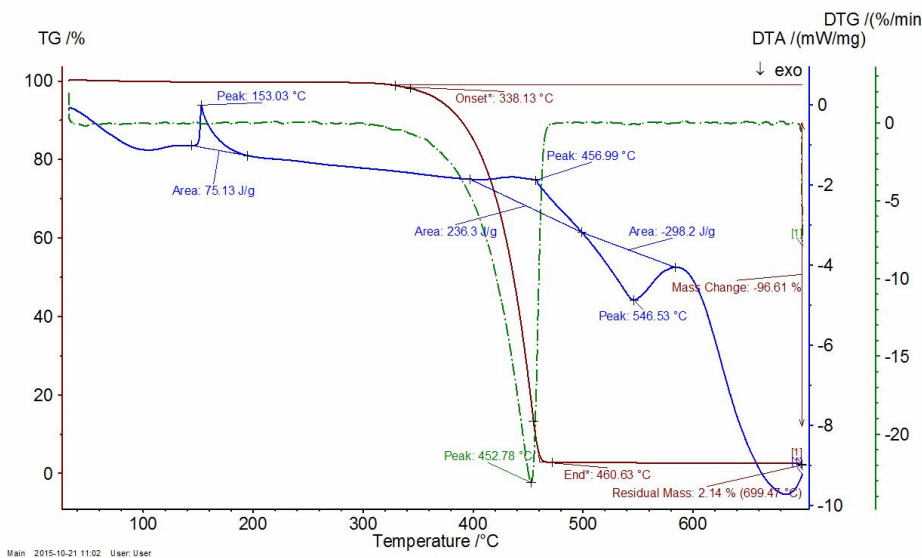
Timp de iradie (ore)	Indice de carbonil la 254 nm		Indice de carbonil la 365 nm	
	nestabilizat	stabilizat	nestabilizat	stabilizat
0	7,8	7,4	7,8	7,5
50	20,6	15,2	10,3	7,6
100	31,2	24,5	10,9	6,7
150	34,8	24,1	10,9	6,6
200	33,2	31,04	10,9	6,6
250	40,8	29,6	9,5	7,1

Din tabel se poate observa influenta foto-stabilizatorului asupra cresterii stabilitatii foto-oxidative a retelei epoxidice reticulate. Atât la 254 nm, cât și 365 nm se constată că indicele de carbonil sunt mult mai mici în cazul probelor ce contin Tinuvin 1577 FF comparativ cu cele lipsite de agent de foto-stabilizare.

## Obiectivul 2. Stabilitatea termică a sistemelor polimerice multicomponente fotostabilizate

### 2.1. Caracterizarea termică a fotostabilizatorilor

Comportarea la temperatură a foto-stabilizatorului Tinuvin 1577 FF s-a urmat prin tehnici de analiza termică cuplante TG-DTA (sistem de analiza TGA-DTA de tip Jupiter 449 F1, NETZSCH-Germania). În **Fig. 6** este prezentată termograma TG-DTA a probei Tinuvin 1577 FF înregistrată în intervalul 32- 700 $^{\circ}\text{C}$ , la viteza de încalzire de 10K min $^{-1}$  și în mediu inert ( $\text{N}_2$ ). Din analiza termogramei rezulta că produsul 2-[2,6-difenil-1,3,5-triazin-2-yl]-5-[hexyl]oxy]-phenol folosit pentru foto-stabilizare este stabil termic până la 338 $^{\circ}\text{C}$  cand are loc debutul pierderilor de masa. Foto-stabilizatorul se descompune într-o singură etapa cu viteza maximă a pierderilor de masa în apropierea temperaturii 452 $^{\circ}\text{C}$ , cum rezulta și din maximul curbei DTG.

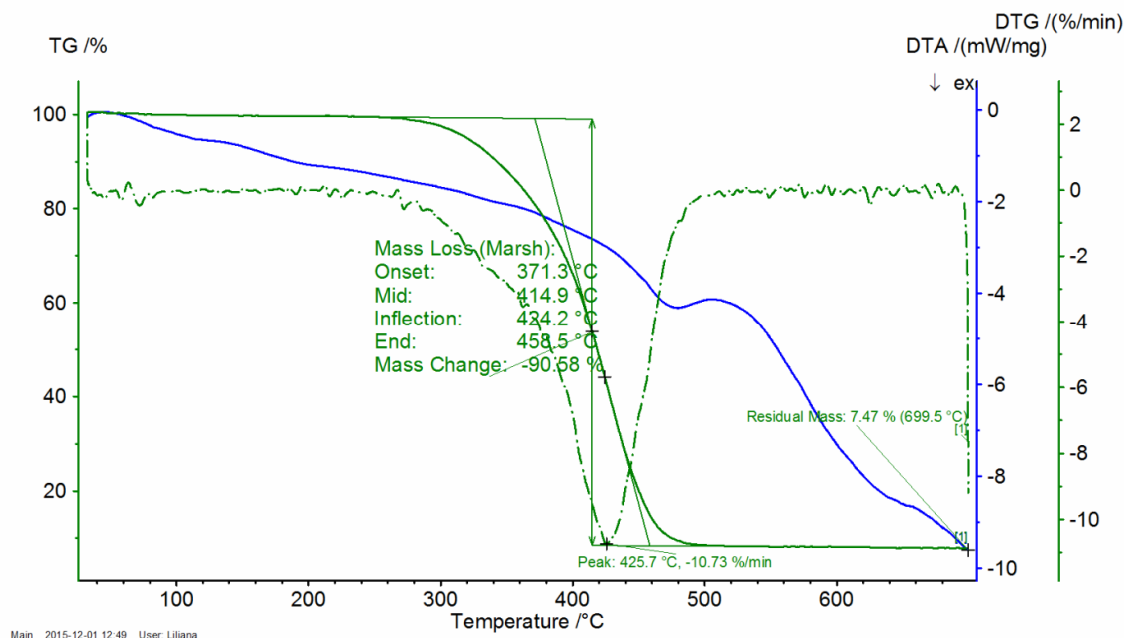


**Fig. 6 Curbele TG, DTA, DTG a foto-stabilizatorului Tinuvin 1577FF**

Procesul de descompunere s-a finalizat în jurul temperaturii de  $460^0\text{ C}$ , cand s-au descompus peste 97,6% din masa probei analizate. Masa reziduului ramas în urma descompunerii termice măsurată la  $700^0\text{ C}$  a fost 2,14%. Termograma DTA arată două semnale endotermice localizate la  $153,03^0\text{ C}$  ( $\Delta H = 75,13 \text{ Jg}^{-1}$ ) și  $457^0\text{ C}$  ( $\Delta H = 238,3 \text{ Jg}^{-1}$ ) și respectiv un semnal exoterm  $546,53^0\text{ C}$  ( $\Delta H = -298,2 \text{ Jg}^{-1}$ ). Primul proces endoterm se datorează topirii substăncii analizate, în timp ce celelalte două insotesc procesele de descompunere termică ([date nepublicate](#)).

## 2.2. Influenta fotostabilizatorilor asupra rezistentei la temperatura a materialelor studiate

Stabilitatea termică a sistemului rasina epoxidica pe baza de bisfenol A reticulata cu ulei de ricin modificat cu anhidrida maleica si stabilizata cu „Tinuvin 1577 FF” a fost studiata prin analiza termogravimetrica ([date nepublicate](#)). Probe de aproximativ 10 mg au fost cantarite in creuzete de alumina si incalzite in atmosfera inerta, in intervalul  $30-700^0\text{C}$  cu viteza de  $10 \text{ K}\cdot\text{min}^{-1}$ . Variatia masei a fost reprezentata in functie de temperatura dupa cum este redat in **Fig. 7**.



**Fig. 7 Termograma specifica degradarii termice a retelei epoxidice pe baza de bifenol A reticulata cu ulei de ricin modificat chimic cu anhidrida maleica si stabilizata cu „Tinuvin 1577 FF”**

**Fig. 7** demonstreaza ca proba caracterizata se descompune termic intr-o singura etapa in intervalul de temperatura  $371,3 \div 458,5^\circ\text{C}$ . Confirmarea acestei afirmatii este facuta de forma curbei DTG care prezinta un singur maxim localizat la temperatura de  $425,7^\circ\text{C}$ . Temperatura de debut al procesului de descompunere termica a probei studiate ( $T_{onset}$ ), definita ca temperatura dupa depasirea careia pierderile de masa sunt semnificative este  $371,3^\circ\text{C}$ . Temperatura finala de descompunere ( $T_{final}$ ), definita ca temperatura dupa care proba nu mai inregistreaza modificari semnificative de masa este  $458,6^\circ\text{C}$ . Un alt parametru important ce caracterizeaza procesele de descompunere termica a polimerilor il reprezinta temperatura la care pierderile de masa se desfasoara cu viteza maxima ( $T_m$ ). In acest caz probei analizate i s-a gasit ca valoarea parametrului  $T_m$  este  $425,7^\circ\text{C}$  valoare ce corespunde varfului semnalului din curba DTG. La aceasta temperatura proba pierde masa cu viteza  $-10.73\% \text{ min}^{-1}$ . Masa reziduului ramas la temperatura de  $700^\circ\text{C}$  a fost 7,47%, proba pierzand deci 92,5% din masa initiala. Dupa cum se poate observa din curba DTA intregul proces de descompunere termica este un proces exoterm. Prin compararea acestor date cu cele obtinute din analiza probelor fara stabilizator, se poate afirma ca prezenta fotostabilizatorului nu influenteaza semnificativ stabilitatea termica a polimerului studiat.

**Obiectiv 3.** Asigurarea cadrului de implementare a proiectului. Im bunatatirea procesului de implementare

### 3.1. Completarea bazei de date web a proiectului.

Baza de date a proiectului a fost reactualizata si se gaseste la adresa:

<http://www.icmpp.ro/mcps/ro/index.php>

### 3.2. Diseminarea rezultatelor obtinute.

#### *Lucrari stiintifice: 7*

1. Novel bio-based flexible epoxy resin from diglycidyl ether of bisphenol A cured with castor oil maleate; D.Rosu, F.Mustata, N.Tudorachi, V.E. Musteata, L.Rosu, C.-D.Varganici; *RSC Advances*, 5(57), 45679-45687 (2015); **IF= 3,840; SI= 2,339**.
2. Epoxy and succinic anhydride functionalized soybean oil for wood protection against UV light action D.Rosu, R.Bodirlau, C.-A.Teaca, L.Rosu, C.-D.Varganici; *J. Clean. Prod.*, (2015); [doi.org/10.1016/j.jclepro.2015.07.092](https://doi.org/10.1016/j.jclepro.2015.07.092); **IF= 3,844; SI= 1,621**
3. Influence of poly(vinyl alcohol) on cellulose photochemical stability in cryogels during UV irradiation; C.-D.Varganici, L.Rosu, O.M.Mocanu (Paduraru), D. Rosu; *J. Photochem. Photobiol. A: Chem.*, 297, 20–30 (2015); **IF= 2,495; SI= 0,939**
4. On the thermal stability of some aromatic-aliphatic polyimides; C.-D.Varganici, D.Rosu, C.Barbu-Mic, L.Rosu, D.Popovici, C.Hulubei, B.C. Simionescu; *J. Anal. Appl. Pyrol.*, 113, 390–401 (2015); **IF= 3,564; SI=1,705**
5. Influence of two structural phases of  $\text{Fe}_3\text{O}_4$  and  $\gamma\text{-Fe}_2\text{O}_3$  on the properties of polyimide/iron oxide composites; S. Ioan, S. Nica, V. Nica, V.C. Grigoras, C.-D. Varganici, D. Popovici, C. Hulubei; *Polym. Int.*, 64, 1172–1181 (2015); **IF= 2,409; SI= 1,686**
6. TGA/DTA-FTIR-MS coupling as analytical tool for confirming inclusion complexes occurrence in supramolecular host-guest architectures; C.-D.Varganici, N.Marangoci, L.Rosu, C.Barbu-Mic, D.Rosu, M.Pinteala, B.C. Simionescu; *J. Anal. Appl. Pyrol.*, 115, 132–142 (2015); **IF= 3,564; SI= 1,705**
7. Thermal and hydrolytic stability of silver nanoparticle polyurethane biocomposites for medical applications; D.Macocinschi, D.Filip, M.F.Zaltariov, C.-D.Varganici; *Polym. Degrad. Stab.*, 131, 238–246 (2015); **IF= 3,183; SI= 2,291**

#### *Capitole de carte: 2*

1. D.Rosu, C.-D.Varganici, L.Rosu, O.M.Paduraru, Thermal degradation of thermosetting blends, in: **Thermal Degradation of Polymer Blends, Composites and Nanocomposites**, P.M. Visakh, Y. Arao (Editori), Editura Springer International, Elvetia, 2015, pg. 17-50; **ISBN** 978-3-319-03463-8 **ISBN** 978-3-319-03464-5 (eBook).
2. C.-A.Teaca, R.Bodirlau, Multicomponent polymer composite/nanocomposite systems using polymer matrices from sustainable renewable sources, in: **Eco-friendly Polymer Nanocomposites Processing and Properties**; Thakur, Vijay Kumar, Thakur, Manju Kumari (Eds.), Editura Springer India, 2015, pg. 469-494, **ISBN**: 978-81-322-2470-9

#### *Lucrari prezentate la manifestari stiintifice: 11 (comunicari: 2 si postere: 9)*

Seventh Cristofor I. Simionescu Symposium *Frontiers in Macromolecular and Supramolecular Science*, June 4 – 5, 2015; “Petru Poni” Institute of Macromolecular Chemistry of Romanian Academy, Iasi

1. D.Rosu, F.Mustata, N.Tudorachi, C.-D.Varganici, L.Rosu; Bio-based flexible networks from epoxy resin and castor oil maleate (Poster)

2. C.-A.Teaca, R.Bodirlau, D.Rosu, N. Tudorachi; Multi-component polymer systems based on biopolymers from renewable resources – structure and properties (Poster)

*Romanian International Conference on Chemistry and Chemical Engineering, RICCCE 19, Sibiu*, 2-5 September 2015.

3. C.A. Teaca, R. Bodirlau, L. Rosu, C.-D. Varganici; FTIR spectral and colour changes of softwood coated with epoxy functionalized soybean oil and photo-degraded under UV light (Poster)

4. R. Bodirlau, C.A. Teaca, L. Rosu, E. Marllica, D. Rosu; Wood treatment with vegetable oils and its protective effect under environmental factors action (Poster)

5. D.Rosu, C.-D. Varganici, L. Rosu, O.M. Mocanu (Paduraru); Poly(vinyl alcohol)-cellulose cryogels. Photochemical behavior (Poster)

6. C.-D. Varganici, L. Rosu, O.M. Paduraru (Mocanu), D. Rosu; Poly(vinyl alcohol)-cellulose cryogels. Thermal behavior (Poster)

7. F. Mustata, E. Marllica, C.D. Varganici, V.E. Musteata; Thermal and electrical properties of DGEBA cured with maleinized castor oil (Poster)

**The 3rd CEEPN Workshop on Polymer Science**, September 23 - 26, 2015 "Petru Poni" Institute of Macromolecular Chemistry Iasi, Romania

8. C.-D. Varganici, D. Rosu, C.-A. Teaca, L. Rosu, R. Bodirlau; Effect of epoxy and succinic anhydride functionalized soybean oil coating on wood resistance against photodegradation (Comunicare)

9. C.-A. Teaca, R. Bodirlau, L. Rosu, N. Tudorachi, D. Rosu; Multi-component polymer systems comprising different bio-based fillers (Poster)

"**Progress in organic and polymer chemistry**", **The XXV<sup>th</sup> Symposium**, 24 - 26 September 2015, Iasi

10. C.-D Varganici, N. Marangoci, L. Rosu, C. Barbu-Mic, D. Rosu, M. Pinteala, B.C. Simionescu; Studiul fenomenului de complexare in arhitecturi supramoleculare de tip gazda-oaspete prin TGA/DTA-FTIR-MS (Comunicare)

11. C.-D. Varganici, D. Rosu, C. Barbu-Mic, L. Rosu, D. Popovici, C. Hulubei, B. C. Simionescu; Studiul comportamentului termic al poliimidelor semi-aromatice (Poster)

### **3.3. Asigurarea resurselor necesare. Intocmirea raportului de etapa.**

Echipa de cercetare implicata in proiect a realizat urmatoarele activitati:

- sedinte de lucru lunare cu membrii echipei;
- activitati de consiliere a post-doctoranzilor de catre cercetatorii seniori;
- organizarea de paneluri ale seniorilor din echipa pentru rezolvarea problemelor stiintifice;
- elaborare de articole si trimiterea spre publicare in jurnale cotate ISI;
- stabilirea si procurarea necesarului de materiale pentru desfasurarea programului de cercetare;
- planificarea resurselor umane, materiale si financiare pentru etapa urmatoare;
- planificarea activitatii de achizitie, intocmirea documentatiei pentru achizitii;
- urmarirea fluxului de aprovisionare si a modului de utilizare a fondurilor;
- intocmirea raportului de etapa 2015 (stiintific, financiar).

In vederea dezvoltarii si implementarii structurii manageriale, membrii echipei de cercetare s-au intrunit lunar si au stabilit planul de activitati detaliat. S-a urmarit comunicarea eficienta si operativa a problemelor administrative, tehnice si financiare atat in interiorul echipei de cercetare, cat si cu autoritatea contractanta. Intreaga echipa de cercetare a fost implicata in elaborarea raportului de etapa. S-a intocmit dosarul necesar pentru realizarea auditului financiar independent 2015.

**Echipa de cercetare a indeplinit obiectivele propuse cu un grad total de realizare.**

**Director proiect,**

Dr. Dan Rosu

